

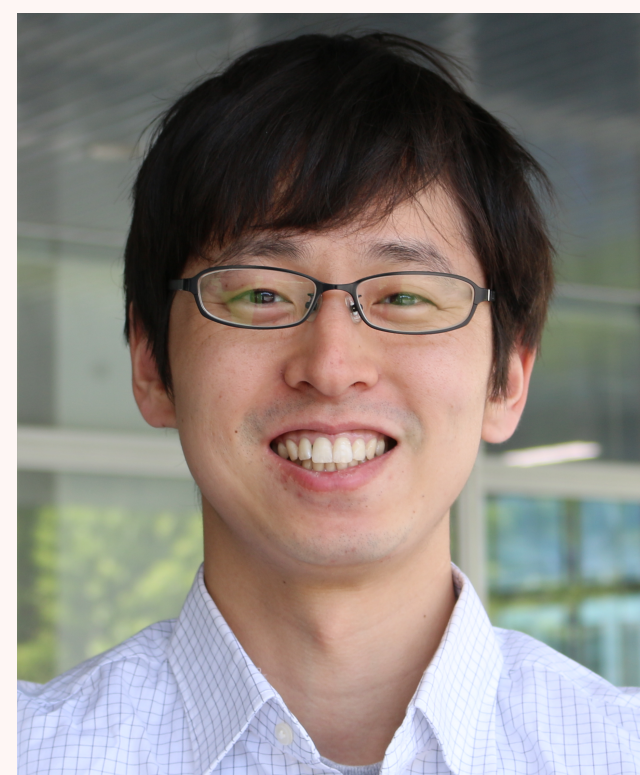
標準模型粒子との散乱が抑制される熱的 暗黒物質模型

阿部智広 (東京理科大学)

濱田祐 (KEK)

[arXiv:2205.11919](https://arxiv.org/abs/2205.11919)

published in PTEP

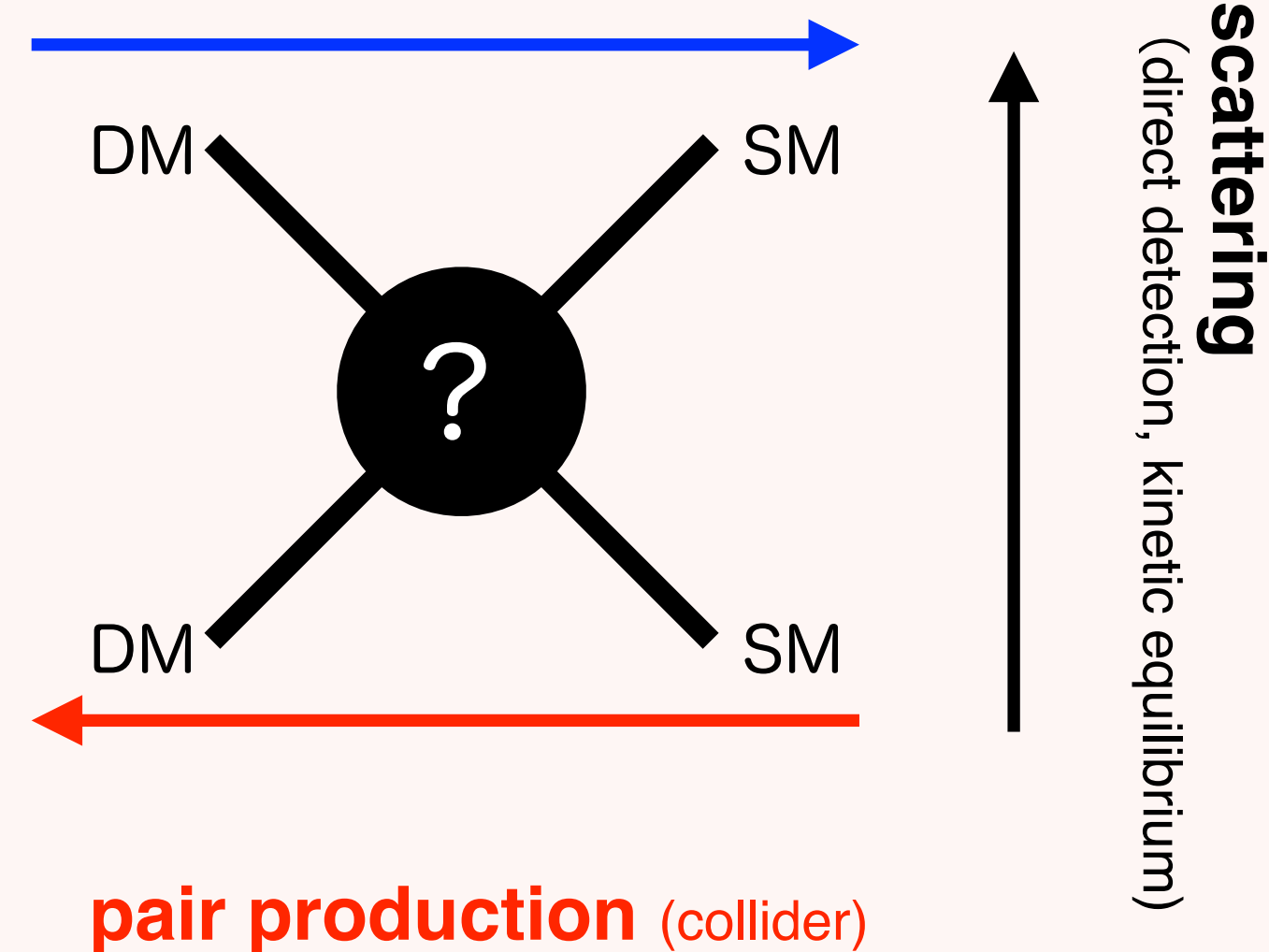


WIMP (or thermal DM)

WIMP (Weakly Interacting Massive Particle)

- ・標準模型と何らか弱く相互作用する
- ・凍結機構でエネルギー密度が説明される
- ・様々な相関があって検証可能性が高いのが魅力

annihilation (thermal relic, indirect detection)



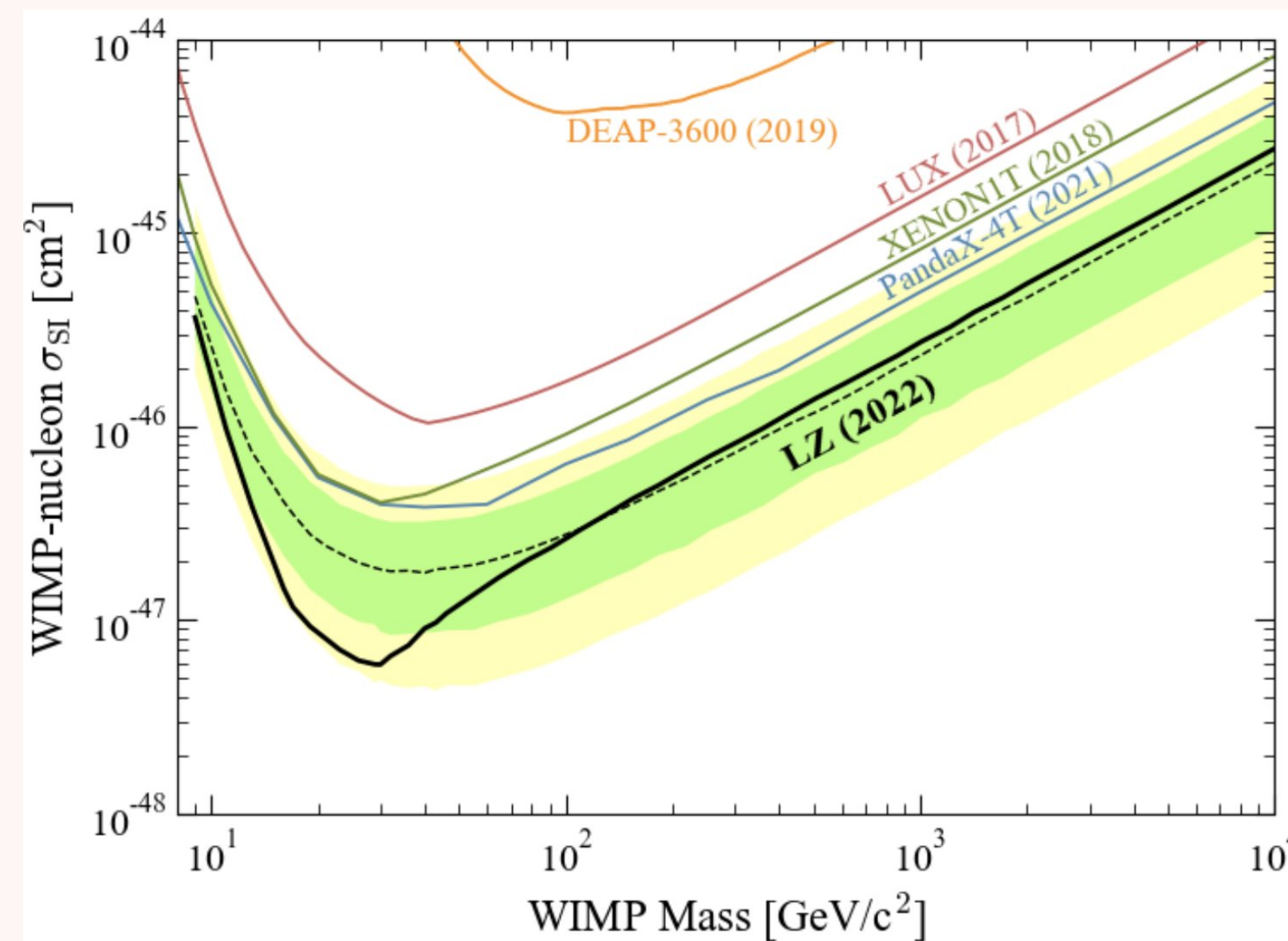
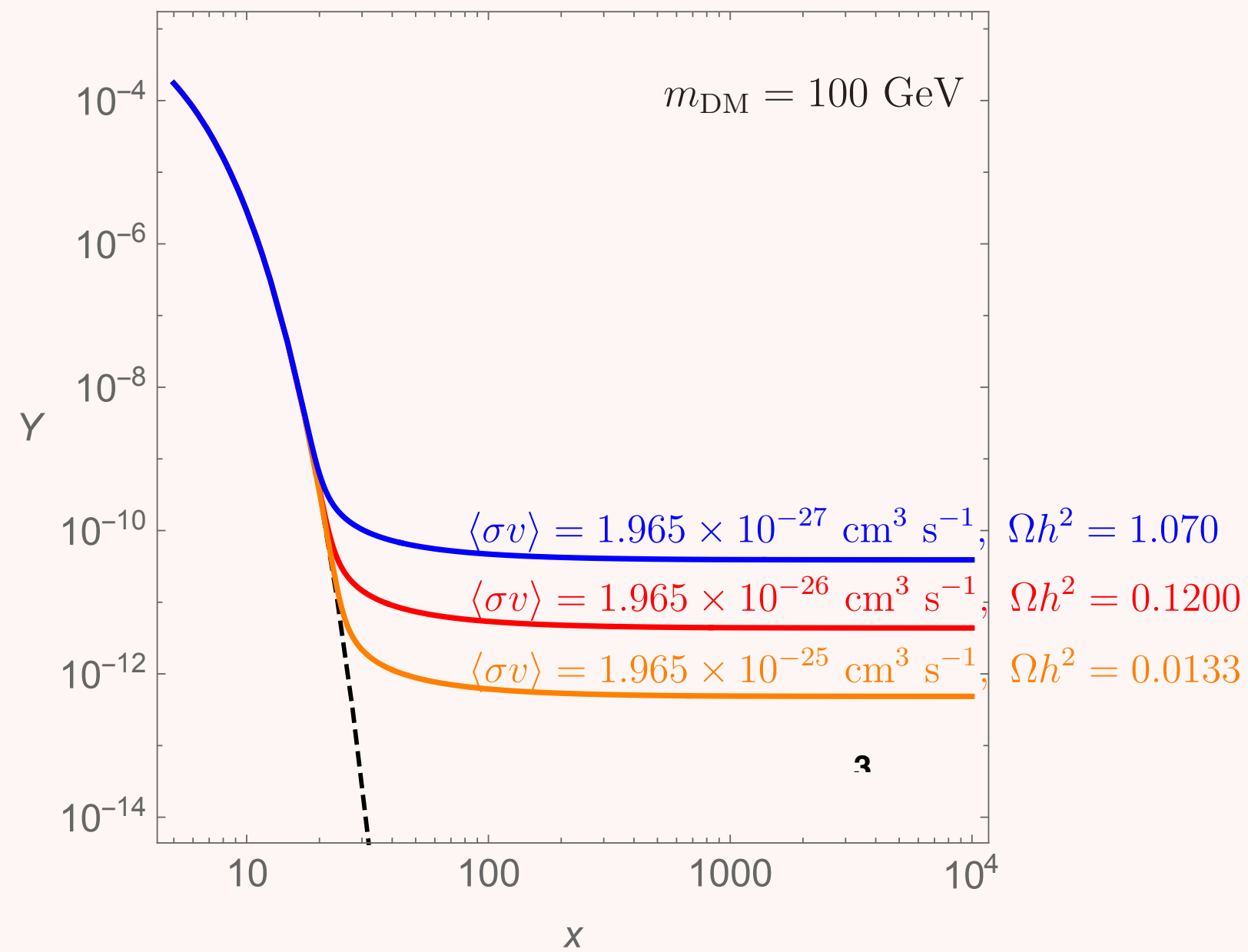
We have to

DMのSMへの対消滅は維持したい

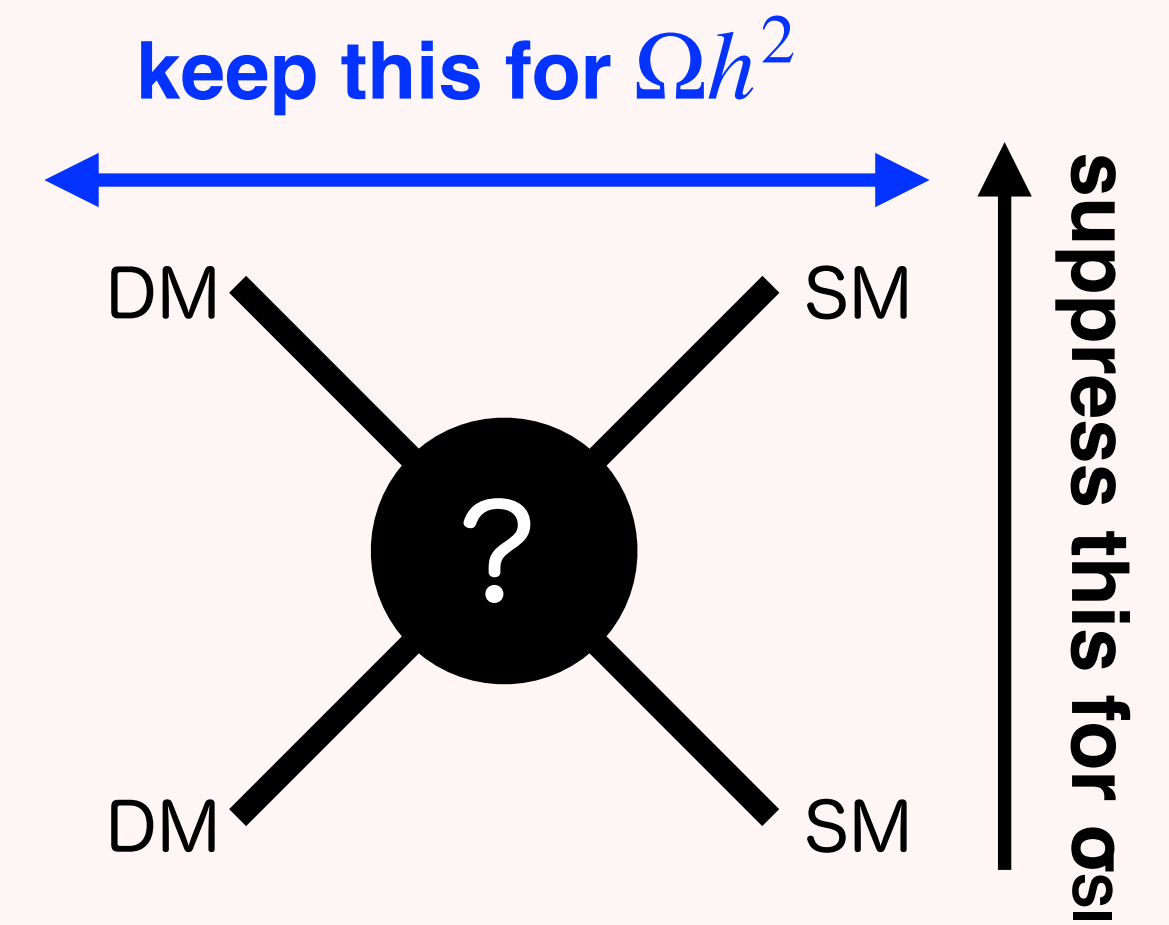
$$\langle \sigma v \rangle = 10^{-26} \text{ cm}^3/\text{s}$$

DM-SM散乱は抑制しないといけない
($\sigma_{SI} \ll O(10^{-46}) \text{ cm}^2$)

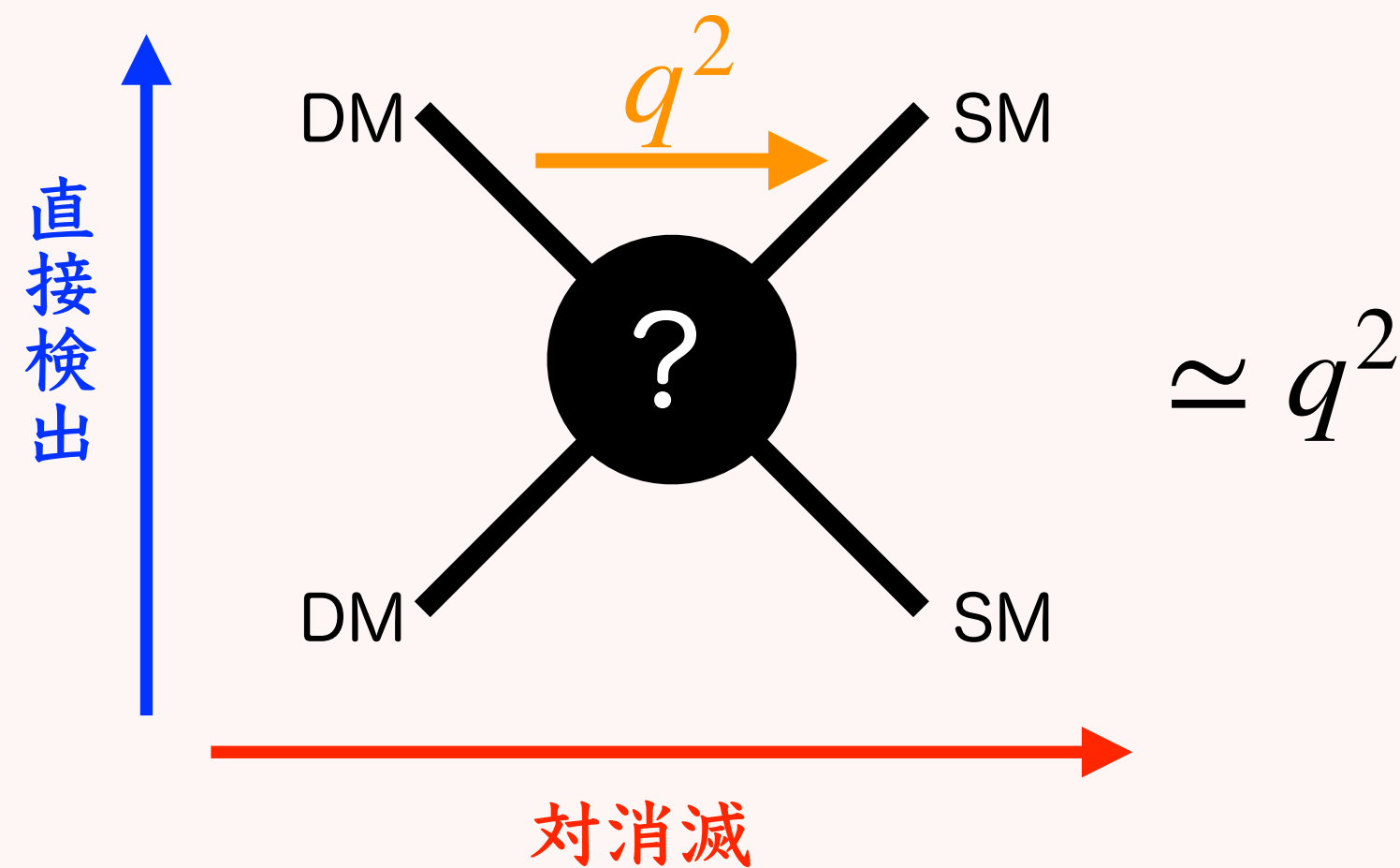
素朴には両立しないので何かアイデアが必要



[LZ ('21)]



振幅が運動量依存するなら



- ▶ $t = q^2 \simeq 0$ @直接検出実験
- ▶ $s = q^2 \simeq 4m_\chi^2$ @DMの対消滅

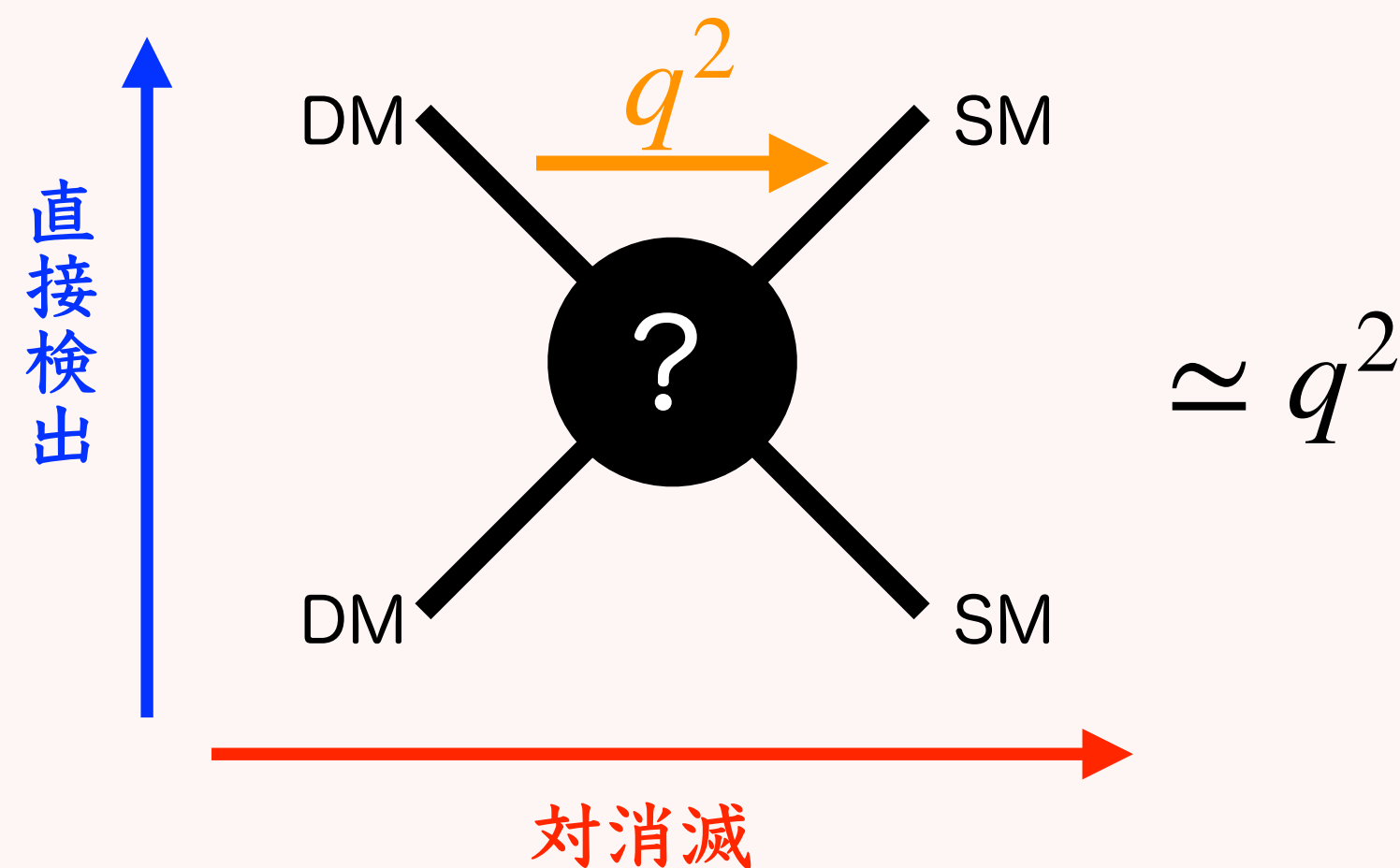
振幅が運動量依存するなら

- ▶ DM-SM散乱（直接検出）の断面積は消える
 - ▶ 対消滅断面積は残る
- ➔ 凍結機構を使いつつ直接検出実験の結果を説明可能

擬南部ゴールドストーンDM

擬南部ゴールドストーン暗黒物質 (pNG DM) [Gross-Lebedev-Toma ('17)]

- ▶ NGボソンは散乱振幅が運動量の2乗に比例する
- ▶ 対称性を破る項を入れて質量を与える
- ▶ 次元2の項で対称性を破るなら直接実験は抑制される



▶ $t = q^2 \simeq 0$ @直接検出実験

▶ $s = q^2 \simeq 4m_\chi^2$ @DMの対消滅

先行研究

SM + a gauge singlet complex scalar (S) [Gross-Lebedev-Toma ('17)]

- $U(1)_{\text{global}}$ を要求 ($S \rightarrow e^{i\theta}S$, SMは singlet)
- $U(1)_{\text{global}}$ の自発的破れで NG boson ($S = v_s + \sigma + i\chi$ の χ)
- $U(1)_{\text{global}}$ を explicit に破る項 ($S^2 + \text{h.c.}$) を入れておいて pNG にする
- $S \rightarrow S^\dagger$ を仮定 (dark sector の CPを仮定)
 - $\sigma \rightarrow \sigma, \chi \rightarrow -\chi$ となるので χ が安定化し DM 候補となる
- いっけんよさそうだが...

scalar potential

$$V = \underbrace{-\frac{\mu_H^2}{2} H^\dagger H + \frac{\lambda_H}{2} (H^\dagger H)^2}_{\text{SM Higgs}} \underbrace{-\frac{\mu_S^2}{2} |S|^2 + \frac{\lambda_S}{2} |S|^4 + \lambda_{HS} H^\dagger H |S|^2}_{\text{U(1) global symmetric}} + \underbrace{\left(-\frac{\mu_S'^2}{4} S^2 + (h.c.) \right)}_{\text{explicit U(1) breaking}}$$

SM Higgs

U(1) global symmetric

explicit U(1) breaking

模型の問題点

- ・次元1, 3 の explicit に破る項 ($S, S^3, SH^\dagger H, \dots$) は0だと「仮定」する
(あると NG boson の性質が失われ, 直接検出実験で模型が棄却される)
- ・ Z_2 対称性 ($S \rightarrow -S$) を自発的に破るのでドメインウォールの問題がある

➡ 問題のない模型を構築しなければならない

問題のない pNG DM の例

次元1でも $U(1)_{\text{global}}$ をやぶる (曹さん出川さんのトーク参照)

[S. Abe, Cho, Mawatari ('21)]
[Cho, Idegawa, Senaha ('21, '22)]
[Cho, Idegawa, Sugihara ('23)]

- ・ $S + S^\dagger$ をいれる
- ・ $S \rightarrow -S$ なる対称性がないので domain-wall problem は無い
- ・ NG boson の性質も失われるので直接検出で制限 → 縮退スカラーシナリオ

$U(1)_{\text{global}} \times [\text{gauged } U(1)_{\text{B-L}}]$ にする

[Y. Abe, Toma, Tsumura ('20)]
[Y. Abe, Toma, Tsumura, Yamatsu ('21)]
[Okada, Raut, Shafi ('21)]
[Okada, Raut, Shafi, Thapa ('21)]

- ・ ゲージ対称性のために S の 1次や3次は禁止できる
- ・ DM が崩壊する
- ・ 長寿命にするために $U(1)_{\text{global}}$ を破る $\text{VEV} \ll U(1)_{\text{B-L}}$ を破る VEV とする

疑問：ゲージ対称性を利用したモデルで VEV の hierarchy の無いようにできるか？

できる [T. Abe, Hamada ('23)]

模型

やりたいこと

以下のルールで pNG 模型を構築する

- ・都合の悪い項はゲージ対称性で禁止したい
- ・離散対称性を自発的に破らないようにしたい
- ・SMにくらべて新しく導入される VEV は1つまで

DMセクターの対称性

$$\overset{\text{global}}{SU(2)_g} \times \overset{\text{gauge}}{U(1)_X} \xrightarrow{\langle \phi \rangle} \overset{\text{global}}{U(1)_D}$$

explicit breaking $\longrightarrow U(1)_g$

DMの安定性

3 NGBs

= 1 would-be NGB

+ 2 NGBs

\longrightarrow pNGBs

doublet field ϕ $\phi \rightarrow e^{iT^a \theta_g^a} e^{i\frac{1}{2}\theta_X(x)} \phi$

$$U(1)_D \quad \phi \rightarrow e^{iT^3 \theta_D} e^{i\frac{1}{2}\theta_D} \phi = \begin{pmatrix} e^{i\theta_D} & 0 \\ 0 & 1 \end{pmatrix} \phi$$

ポテンシャル

H はSM Higgs

$$V_{\text{BSM}} = \underbrace{\mu_\phi^2 \phi^\dagger \phi + \lambda_\phi (\phi^\dagger \phi)^2 + \lambda_{H\phi} (H^\dagger H) (\phi^\dagger \phi)}_{SU(2)_g \times U(1)_X} + \underbrace{\mu_\chi^2 (\phi^\dagger T^3 \phi)}_{U(1)_g \times U(1)_X}$$

- ・ $SU(2)_g$ を $U(1)_g$ に explicit にソフトに破る
- ・ $U(1)_X$ ゲージのために soft な explicit breaking の項は最後の項のみ
- ・ 次元 1, 3 の項はゲージ対称性で禁止される (先行研究では手で落としていた)

新粒子

$$H = \begin{pmatrix} i\pi_{W^+} \\ \frac{v+\sigma-i\pi_Z}{\sqrt{2}} \end{pmatrix}, \quad \phi = \begin{pmatrix} i\chi \\ \frac{1}{\sqrt{2}} (v_s + s - i\chi V) \end{pmatrix}$$

pNG DM

V_μ に食べられる

混ざって h と h' になる

新粒子

χ : pNG boson (DM)

h' : extra scalar (DMセクターと SMセクターを繋ぐ)

V_μ : gauge boson

DMセクターに荷電共役対称性を課す

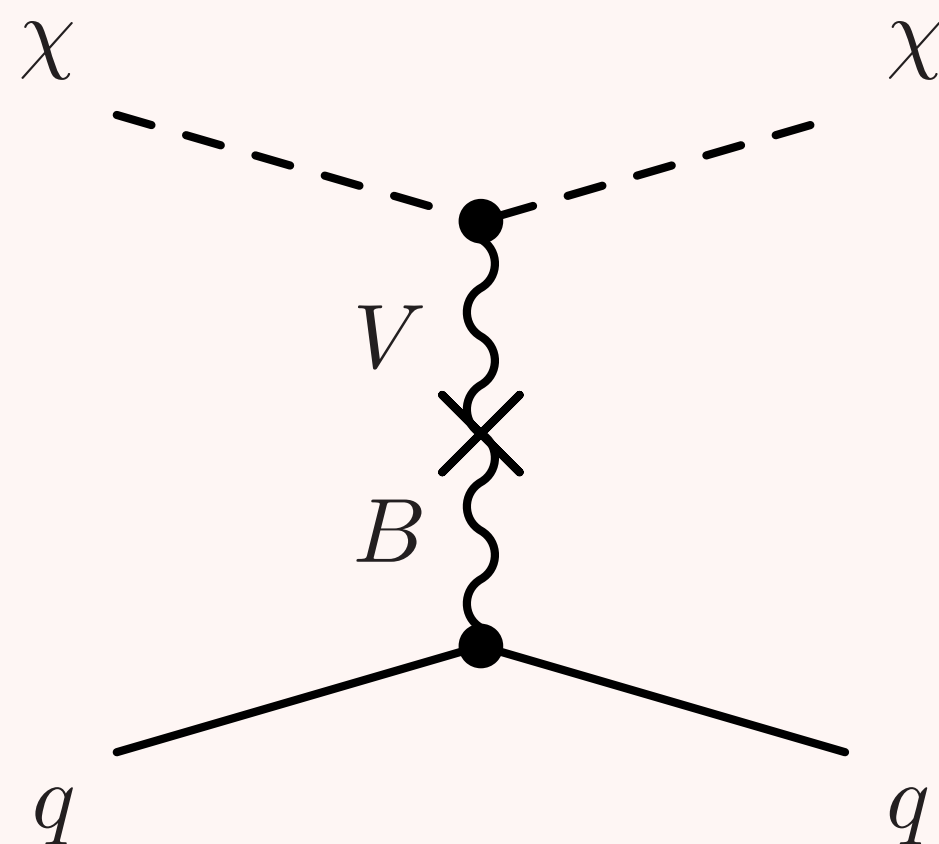
$$\phi \rightarrow \phi^*, V_\mu \rightarrow -V_\mu$$

V_μ は $U(1)_X$ のゲージ場

kinetic mixing が禁止できる

$$-\frac{1}{4}B^{\mu\nu}B_{\mu\nu} - \frac{1}{4}V^{\mu\nu}V_{\mu\nu} - \frac{\kappa}{2}B^{\mu\nu}V_{\mu\nu}$$

kinetic mixing があると直接検出で排除されるので禁止する



V も安定になりうる

- $V \rightarrow \chi\chi^\dagger$ でのみ崩壊する
- $m_V > 2m_\chi$ なら χ のみが DM
- $m_V < 2m_\chi$ なら χ も V も DM
- V が DM だと直接検出で排除される

散乱振幅

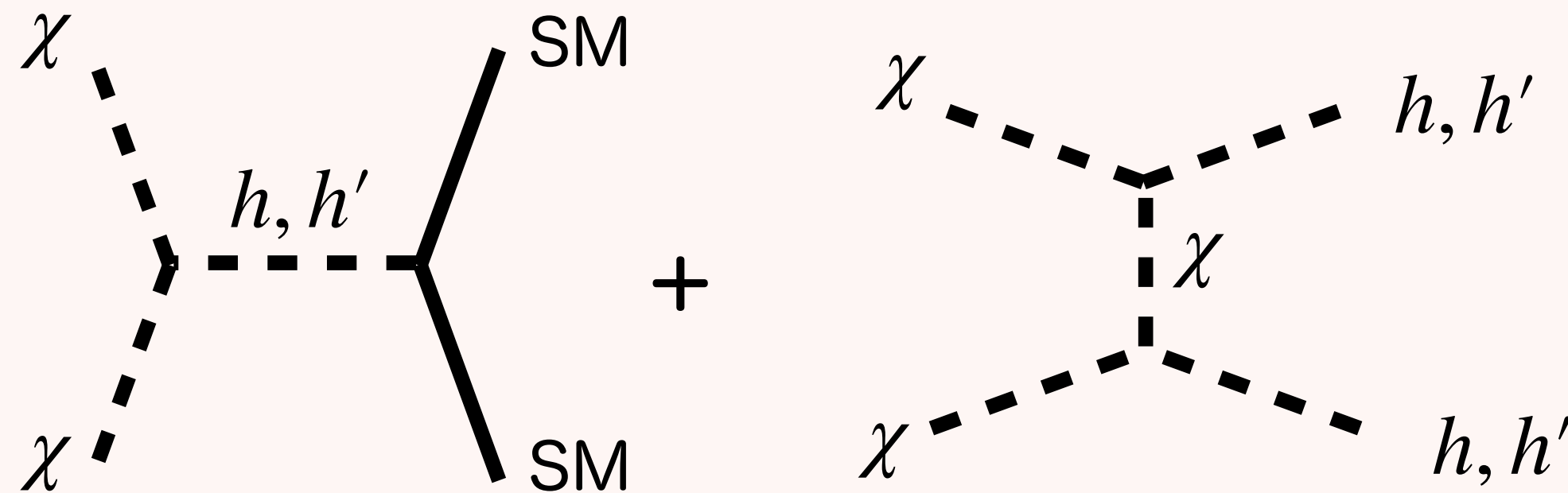
$$= -i \frac{m_q}{v v_s} s_{\theta_h} c_{\theta_h} \bar{u} u \left(-\frac{1}{t - m_h^2} + \frac{1}{t - m_{h'}^2} \right) t$$

DM-SM 散乱は抑制される

- ▶ $t \simeq 0$ @直接検出実験
- ▶ 対消滅は上の式で $t \rightarrow s \simeq 4m_\chi^2$ となるので抑制されない
- ▶ freeze-out の範囲で直接検出実験の null result を説明可能

relic abundance

暗黒物質の対消滅過程

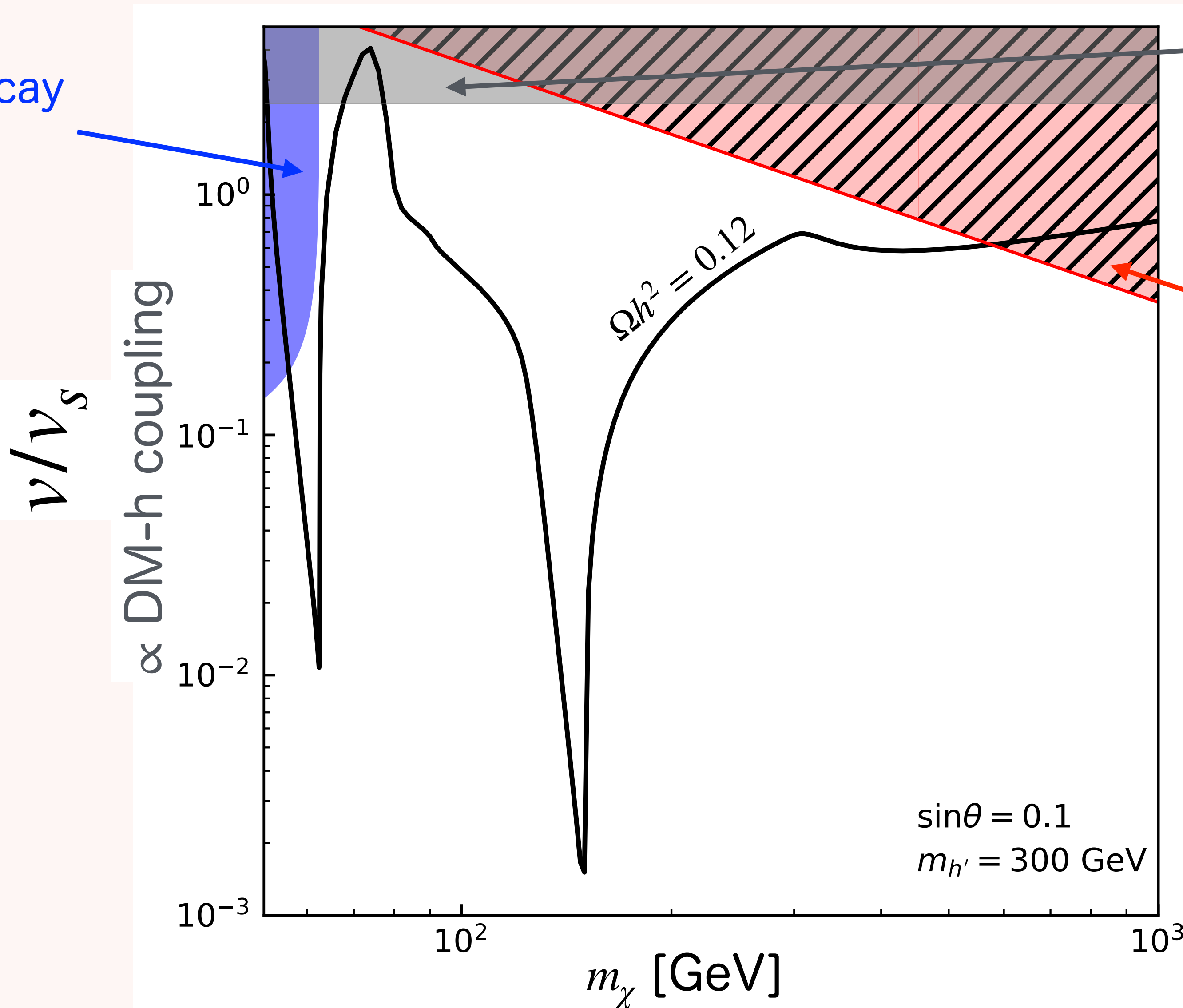


$$\frac{dn_\chi}{dt} + 3Hn_\chi = -\langle\sigma v\rangle (n_\chi^2 - n_{\chi,eq}^2)$$

- ・ DM-SM 散乱と異なり抑制されない
- ・ $m_\chi \simeq m_h/2$ および $m_\chi \simeq m_{h'}/2$ では, 共鳴現象で $\langle\sigma v\rangle$ が大きくなる
 - ・ 共鳴の起こる領域では $\chi\chi h$ 結合を小さくして $\Omega h^2 = 0.12$ を説明する

$\Omega h^2 = 0.12$ となるパラメータ

Higgs invisible decay
探索@LHCで排除



perturbative Unitarity bound
(scalar quartic couplings) に
抵触

perturbative Unitarity bound
(gauge coupling) に抵触
(ここでは $m_V = 3m_\chi$ を仮定)

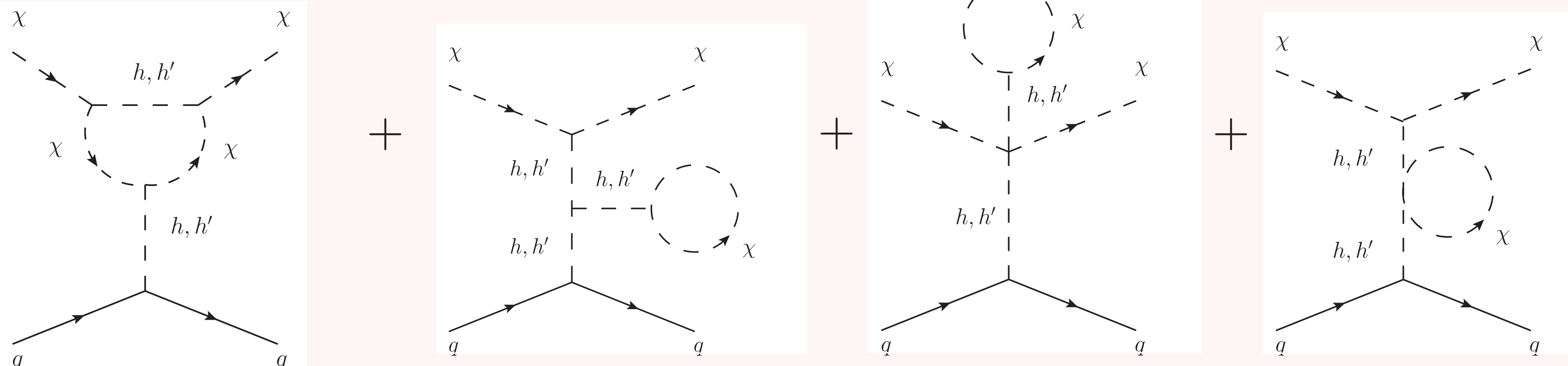
beyond the tree level analysis

散乱振幅

$$= -i \frac{m_q}{v v_s} s_{\theta_h} c_{\theta_h} \bar{u} u \left(-\frac{1}{t - m_h^2} + \frac{1}{t - m_{h'}^2} \right) t$$

- ・ DM-SM 散乱は抑制されるのはツリーレベルの結果
- ・ soft breaking term (= DM mass)のために NG ボソンの性質はなくなる
- ・ DM mass に依存するループ補正によって DM-SM 散乱が運動量移行に抑制しなくなる [Ishiwata, Toma, Tsumura ('18), Azevedo et al ('19), Glaus et al ('20)]
- ・ ゲージ結合が大きところはループ補正が大きいの可能性あり → 計算しよう

散乱振幅 @ loop level

$$i\mathcal{M}(m_\chi) =$$


The equation shows the sum of four Feynman diagrams representing loop-level corrections to a scattering process. Each diagram features an incoming quark q and an outgoing quark q connected by a solid line. A loop of particles h, h' (dashed lines) is attached to this line. An external particle χ (dashed line with an arrow) is also present. The diagrams are summed together, followed by an ellipsis indicating further terms.

- ・ たくさんのダイアグラム
- ・ キャンセルしたりする
- ・ 効率よく計算したい \rightarrow NG boson の性質を使う

散乱振幅 @ loop level

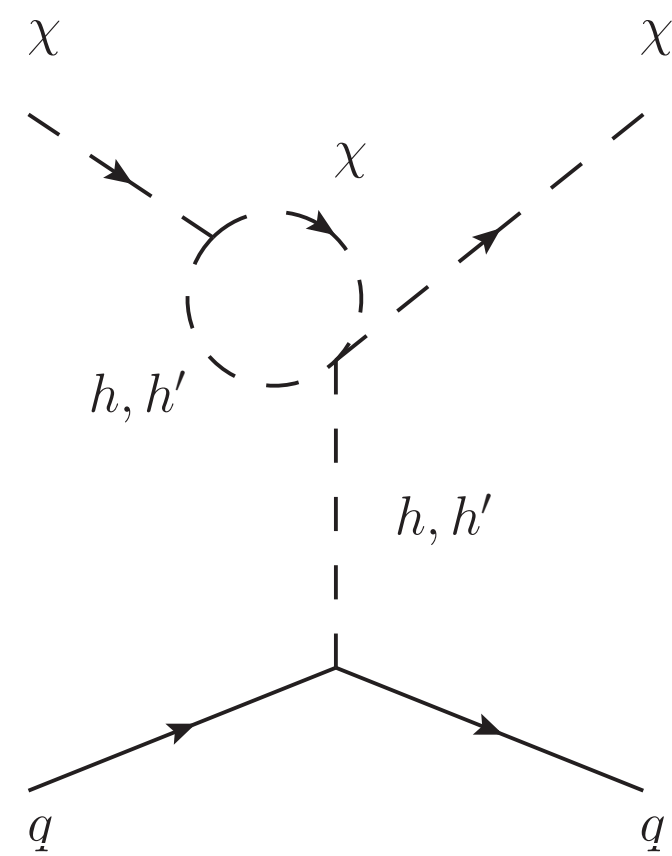
- ・ NG boson になら, 移行運動量0極限で振幅は消える (ツリーレベル参照)
- ・ NG boson になる極限 = explicit breaking term が消える極限 = massless DM極限

散乱振幅 $\mathcal{M}(m_\chi)$ は $\mathcal{M}(0) = 0$ を満たす

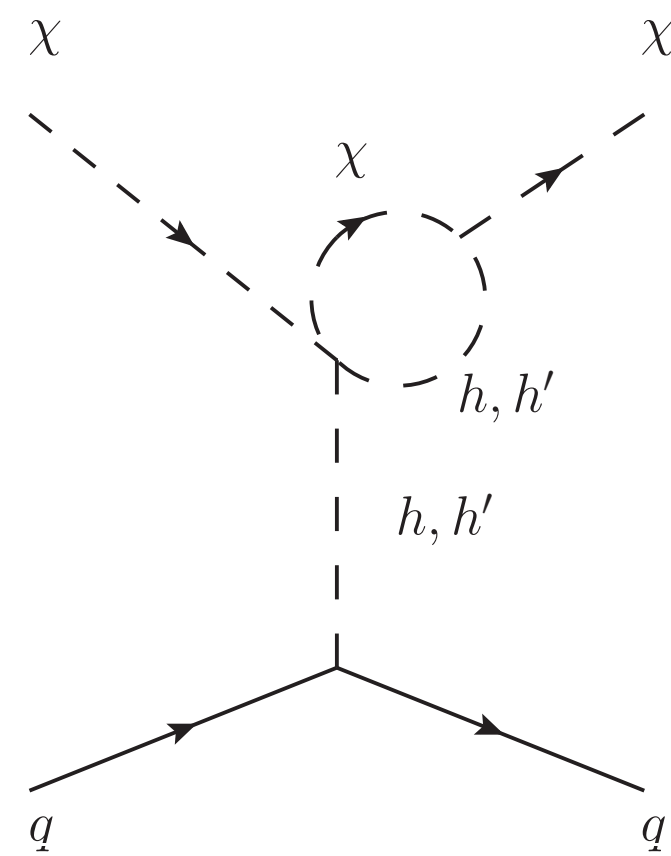
$$\begin{aligned}\mathcal{M}(m_\chi) &= \mathcal{M}(m_\chi) - \mathcal{M}(0) \\ &= \sum_j \left(\mathcal{M}_j(m_\chi) - \mathcal{M}_j(0) \right)\end{aligned}$$

- ・ ダイアグラムごとに m_χ に依存しない項を差っ引けば良い
- ・ 内線に χ が現れないダイアグラムは計算しなくて良い

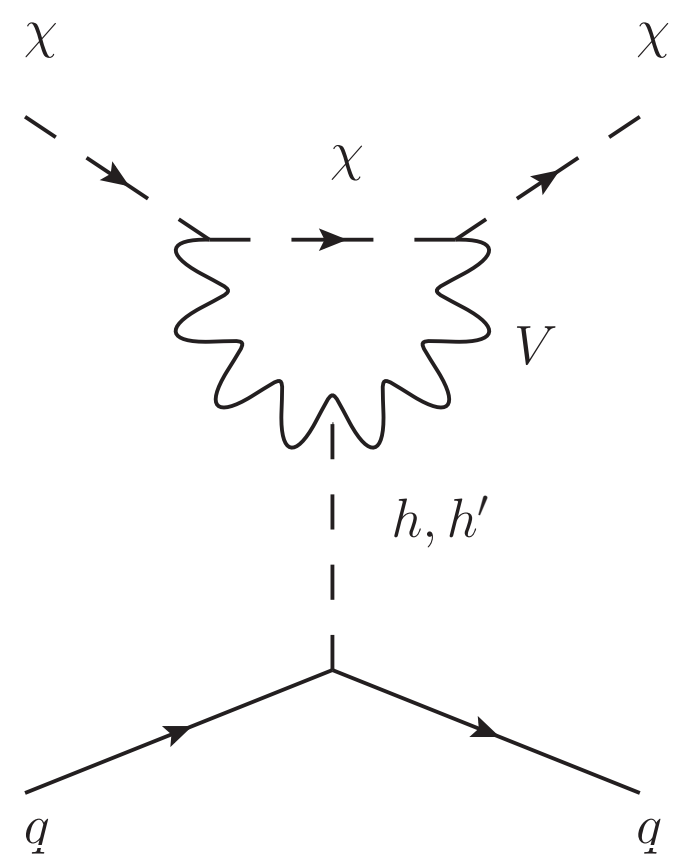
計算すべきダイアグラム



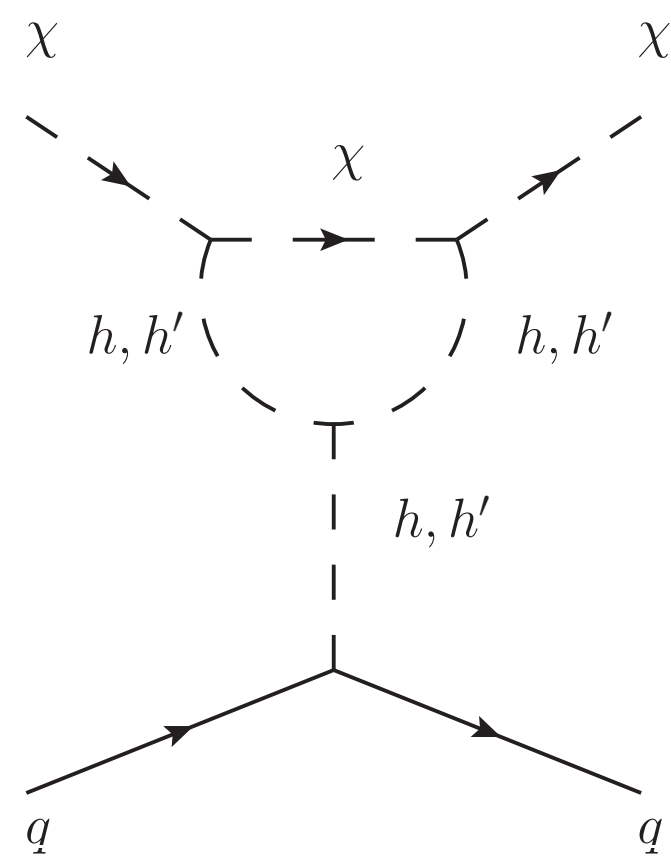
(a)



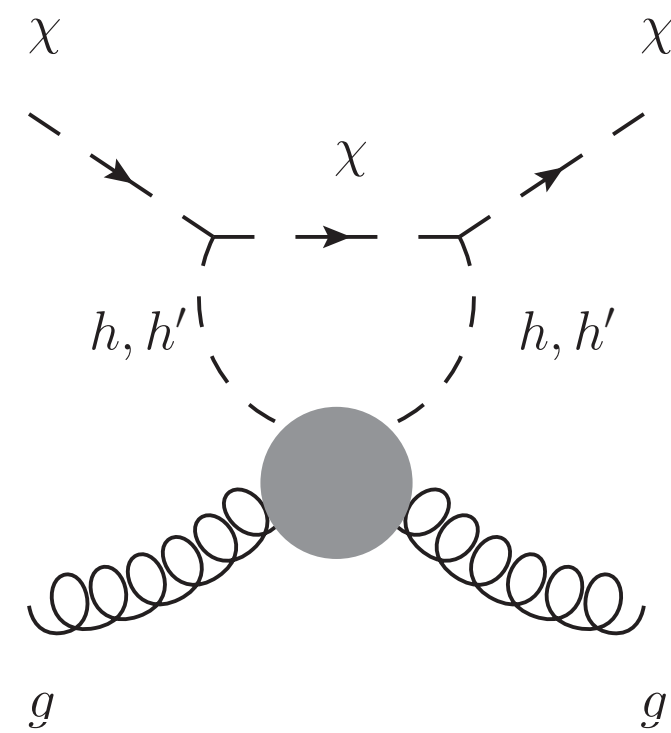
(b)



(c)



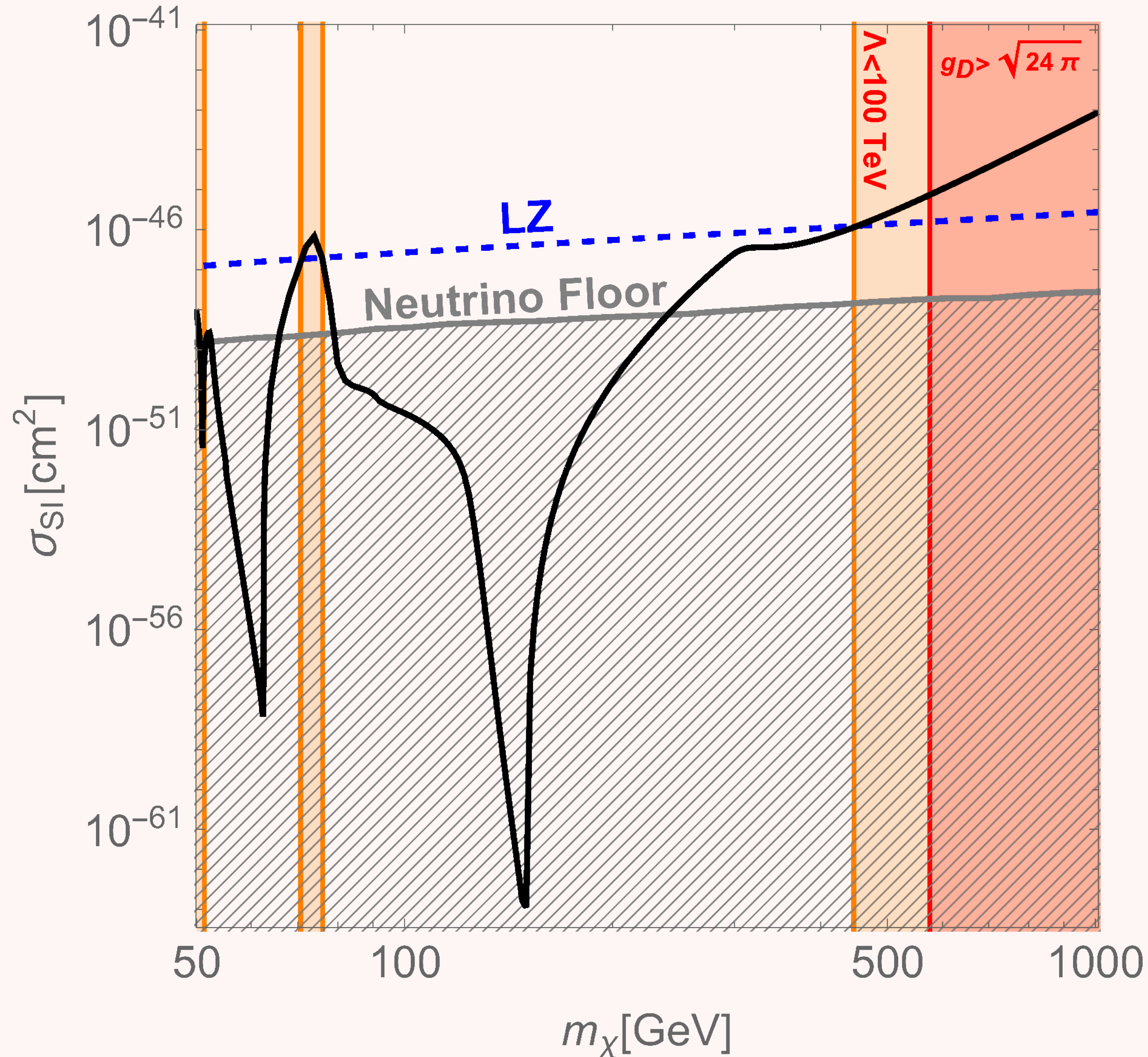
(d)



(e)

- ・ 計算すべきダイアグラムの数はだいぶ減る
- ・ 手計算でも十分できる
- ・ 結果はごちゃごちゃするので略
- ・ 数値を次で見せる
- ・ ゲージが飛ぶ寄与以外は無視していいほど小さい
- ・ ゲージ結合がでかいところだけ重要

σ_{SI} @ 1-loop



- σ_{SI} は現在の制限 (LZ実験) よりも小さい
- 大きいところはゲージ結合が大きいのでそもそも摂動計算が破綻している
- 大抵の領域は ν floor 以下なので従来の直接検出による検証は難しい

Summary

まとめ

$SU(2)_g \times U(1)_X \rightarrow U(1)_D$ による pNG DM を提案した

- $SU(2)_g$ は大域的で $U(1)_g$ に陽に破れている
- $U(1)_X$ はゲージ対称性
- $U(1)_D$ と DM セクターの荷電共役対称性で DM は安定
- 先行研究では手で落としていた項が, このモデルでは $U(1)_X$ ゲージ対称性で禁止できる
- ドメインウォール問題もない
- 直接検出実験の結果と矛盾せず $\Omega h^2 = 0.12$ となる